



Laboratorium EMVO Sp. J. Urbański, Pawelak  
ul. Jasna 1  
00-013 Warszawa

tel. +48 22 780 29 64  
e-mail: laboratorium@emvo.pl



AB 1630

## Sprawozdanie z pomiarów pól elektromagnetycznych - środowisko nr 26/09/OŚ/2023– P4-W



Nr i nazwa stacji	OPA3302F	
Adres	Opatów, dz. nr 397/2, obr. 0001, pow. opatowski, woj. świętokrzyskie	
Opracowanie	Martyna Karczmarczyk	Specjalista ds. pomiarów
Autoryzacja	Andrzej Urbański	Kierownik Laboratorium
Podpis		
Data	2023-09-11	

## Spis treści

1. Informacje ogólne. ....	3
2. Podstawa prawna. ....	3
3. Opis pomiarów ....	3
4. Zróżnicowanie dopuszczalne poziomy pól elektromagnetycznych.....	5
5. Charakterystyka źródeł PEM.....	6
6. Wyniki pomiarów. ....	6
7. Stwierdzenie zgodności ....	7
8. Oświadczenie.....	9
9. Spis załączników. ....	9

## 1. Informacje ogólne.

Zleceniodawca	P4 sp. z o.o., ul. Wynałazek 1, 02-677 Warszawa osoba udzielająca informacji- Monika Bieroza
Istotne informacje dostarczone przez klienta	komplet informacji niezbędnych do wykonania pomiarów i opracowania sprawozdania
Dane otrzymane od klienta mogące mieć wpływ na ważność wyników	Dane anten sektorowych, dane anten radioliniowych, parametry pracy instalacji, ustawienie pochylenia anten
Prowadzący instalację	P4 sp. z o.o., ul. Wynałazek 1, 02-677 Warszawa
Lokalizacja obiektu	Opatów, dz. nr 397/2, obr. 0001, pow. opatowski, woj. świętokrzyskie
Miejsce instalacji anten	Wieża kratowa
Miejsce instalacji urządzeń	Outdoor
Osoby wykonujące pomiar	Daniel Józwiak
Data wykonania pomiaru	11.09.2023
Temperatura na początku pomiaru [°C]	25,0
Temperatura na koniec pomiaru [°C]	27,0
Warunki atmosferyczne	Brak opadów
Wilgotność na początku pomiaru [%]	53,0
Wilgotność na koniec pomiaru [%]	53,0
Godzina na początku pomiaru	13:49
Godzina na koniec pomiaru	18:26
Inne źródła pól elektromagnetycznych oznaczone na załączniku graficznym	Nie występują
Parametry pracy instalacji	Tryb eksploatacyjny

## 2. Podstawa prawna.

### 2.1 Normy i rozporządzenia:

- Obwieszczenie Ministra Klimatu i Środowiska z dnia 21 listopada 2022 r. w sprawie ogłoszenia jednolitego tekstu rozporządzenia Ministra Klimatu w sprawie sposobów sprawdzania dotrzymania dopuszczalnych poziomów pól elektromagnetycznych w środowisku (Dz.U. 2022 poz. 2630)
- Rozporządzenie Ministra Zdrowia z dnia 17 grudnia 2019 r. w sprawie dopuszczalnych poziomów pól elektromagnetycznych w środowisku (Dz.U. 2019 poz. 2448)
- Obwieszczenie Marszałka Sejmu Rzeczypospolitej Polskiej z dnia 1 grudnia 2022 r. w sprawie ogłoszenia jednolitego tekstu ustawy - Prawo ochrony środowiska (Dz.U. 2022 poz. 2556).

### 3. Opis pomiarów

Metodologia pomiarowa	Pomiary w oparciu o Rozporządzenie Ministra Klimatu z dnia 17 lutego 2020 r. w sprawie sposobów sprawdzania dotrzymania dopuszczalnych poziomów pól elektromagnetycznych w środowisku (Dz.U. 2022 poz. 2630).
Cel badań	Określenie wartości natężenia pola elektrycznego w miejscach dostępnych dla ludności.
Opis zestawu pomiarowego	Miernik Narda NBM 520, Sonda EF 9091, o zakresie pomiarowym 0,7 V/m 300V/m pracująca w paśmie 80 MHz – 90 GHz, świadectwo wydane przez Laboratorium Wzorców i Metrologii Pola Elektromagnetycznego, Instytut Telekomunikacji, Teleinformatyki i Akustyki Politechniki Wrocławskiej, numer świadectwa: LWIMP/W/264/23, świadectwo ważne do 27.06.2025r. Miernik Narda NBM 520, Sonda EF 9091 pracująca w zakresie temperatury -10°C - +50°C oraz wilgotności 5% - 95%. Niepewność rozszerzona 54,8% przy poziomie ufności 95% z uwzględnieniem współczynnika rozszerzenia k=2.
Wypożyczenie pomocnicze	Termohigrometr Bestone, Nr. inwentarzowy 07/WL, typ: GM1362-EN-00, nr identyfikacyjny 1222436, świadectwo wzorcowania z dn. 03.04.2017r. wydane przez Laboratorium Pomiarowe "MUTECH". Przymiar wstępowy STABILA, Nr. inwentarzowy 18/WL, nr seryjny 10721, świadectwo wzorcowania nr. 6W1/1551/17 z dn. 19.06.2017r. wydane przez Zespół Laboratoriów wzorcujących Okręgowego Urzędu Miar w Gdańsku. GPS Garmin 64s okresowo sprawdzany w punktach osnowy geodezyjnej klasy 3 na podstawie licencji punktu, zgodnie z procedurą sprawdzeń okresowych IS/PO-16-11/03.
Pomiary zostały wykonane	<ol style="list-style-type: none"><li>1. na głównych i pomocniczych kierunkach pomiarowych, na kierunkach zbliżonych do azymutów anten oraz w dodatkowych pionach pomiarowych zgodnie z wymaganiami pkt 12, 13, 14 i 19 Rozporządzenia Ministra Klimatu z dnia 17 lutego 2020 r. (Dz.U. 2022 poz. 2630). Wybór i lokalizacja pionów pomiarowych, w tym znajdujących się wewnątrz lokali, zostały ustalone zgodnie z procedurą laboratorium nr PP-7.3/7.4/7.5-11, z uwzględnieniem: rodzaju badanej instalacji (w tym parametrów technicznych instalacji), lokalizacji badanej instalacji, ukształtowania terenu wokół badanej instalacji.</li><li>2. na obszarze pomiarowym, dla którego, na podstawie uprzednio przeprowadzonych obliczeń stwierdzono w miejscach dostępnych dla ludności występowanie pól elektromagnetycznych o najwyższym poziomie, które pochodzą z badanej instalacji zgodnie z wymaganiami pkt 5 ppkt 2 oraz pkt 13 ppkt 1 Rozporządzenia Ministra Klimatu z dnia 17 lutego 2020 r. w sprawie sposobów sprawdzania dotrzymania dopuszczalnych poziomów pól elektromagnetycznych w środowisku (Dz.U. 2022 poz. 2630). Wyniki obliczeń nie uwzględniały parametrów pracy instalacji innych operatorów występujących na obiekcie bądź w obszarze pomiarowym.</li><li>3. w miejscach dostępnych dla ludności.</li><li>4. miejsca niedostępne podczas wykonywania pomiarów wskazane zostały w pkt 6 (tabeli wyniki pomiarów)</li><li>5. w dodatkowych pionach pomiarowych w lokalach oraz na balkonach i tarasach, na których mogą przebywać ludzie, po poinformowaniu o planowanych pomiarach z minimum 3-dniowym wyprzedzeniem i po umożliwieniu dostępu do lokalu, balkonu lub tarasu przez jego dysponenta lub bez zachowania terminu wskazanego w pierwszej części</li></ol>

zdania za zgodą dysponenta przestrzeni pomiarowej.

Sposób powiadamiania  
dysponentów

Zgodnie z pkt 14 Rozporządzenia Ministra Klimatu z dnia 17 lutego 2020 r. w sprawie sposobów sprawdzania dotrzymania dopuszczalnych poziomów pól elektromagnetycznych w środowisku (Dz.U. 2022 poz. 2630). poinformowano dysponentów lokali o planowanych pomiarach.  
Informacji dokonano między innymi poprzez:

1. bloki mieszkalne – zawiadomienie spółdzielni mieszkaniowej, zarządcy nieruchomości, zarządu wspólnoty, umieszczenie informacji o planowanych pomiarach na tablicach ogłoszeń w klatkach schodowych bloków lub na drzwiach wejściowych,
2. biurowce, budynki użyteczności publicznej itp. - przekazanie zawiadomienia do administracji lub recepcji obiektu,
3. domy jednorodzinne, szeregowce itp.- pozostawienie informacji w skrzynkach pocztowych itp. lub przekazanie osobiste.

Warunki pracy urządzeń  
nadawczych

Tryb pracy eksploatacyjny.

#### 4. Zróżnicowanie dopuszczalne poziomy pól elektromagnetycznych.

Zakresy znajdują się w Dzienniku Ustaw z dnia 17 grudnia 2019 r. przedstawione są w tabeli nr 2 (Dz. U. z 2019r. poz. 2448).

Parametr fizyczny Zakres Częstotliwości pola elektromagnetycznego	Składowa elektryczna E (V/m)	Składowa magnetyczna H (A/m)	Gęstość mocy S (W/m <sup>2</sup> )
od 400 MHz do 2000 MHz	$1,375 \times f^{0,5}$	$0,0037 \times f^{0,5}$	$f / 200$
od 2 GHz do 300 GHz	61	0,16	10

## 5. Charakterystyka źródeł PEM.

Zgodnie z informacją otrzymaną od Klienta pomiary zostały wykonane przy ustawieniach pochylenia anten zgodnych z pkt. 13, ppkt 2 Rozporządzenia Ministra Klimatu z dnia 17 lutego 2020 roku.

Tabela 1. Anteny sektorowe - dane otrzymane od klienta

Charakterystyka promieniowania		kierunkowa							
Rzeczywisty czas pracy [h/dobę]		24							
Rodzaj wytwarzanego pola		stacjonarne							
Lp	Wyszczególnienie	sektor 1							
I	Nadajnik stacji bazowej:								
1	Typ / Producent	RBS / SRAN Ericsson							
2	Częstotliwość (pasmo) MHz	900	2100	1800	800	2100	1800	800	2600
3	Maksymalna moc nadawana na sektor [dBm]	47,78	50	50	49,03	50	50	49,03	52,04
II	Obciążenie:								
1	Typ anteny	Huawei A704517R0	Huawei ADU4518R8			Huawei ADU4518R8			Huawei ADU4521R0
2	Producent anteny	Huawei	Huawei			Huawei			Huawei
3	Nazwa anteny	13_GT	11_HNV	11_HNV	11_HNV	12_LV	12_LV	12_LV	14_H
4	Ilość anten	1	1			1			1
5	Azymut	10							
6	Zakres kątów pochylenia anten [°]	0-10	2-12	2-12	0-10	2-12	2-12	0-10	0-6
7	Wysokość zainst. n.p.t. [m]	59,00							
8	EIRP [W]	3039	14198			14198			19734

Charakterystyka promieniowania		kierunkowa							
Rzeczywisty czas pracy [h/dobę]		24							
Rodzaj wytwarzanego pola		stacjonarne							
Lp	Wyszczególnienie	sektor 2							
I	Nadajnik stacji bazowej:								
1	Typ / Producent	RBS / SRAN Ericsson							
2	Częstotliwość (pasmo) MHz	900	2100	1800	800	2100	1800	800	2600
3	Maksymalna moc nadawana na sektor [dBm]	47,78	50	50	49,03	50	50	49,03	52,04
II	Obciążenie:								
1	Typ anteny	Huawei A704517R0	Huawei ADU4518R8			Huawei ADU4518R8			Huawei ADU4521R0
2	Producent anteny	Huawei	Huawei			Huawei			Huawei
3	Nazwa anteny	23_GT	21_LV	21_LV	21_LV	22_HNV	22_HNV	22_HNV	24_H
4	Ilość anten	1	1			1			1
5	Azymut	110							
6	Zakres kątów pochylenia anten [°]	0-10	2-12	2-12	0-10	2-12	2-12	0-10	0-6
7	Wysokość zainst. n.p.t. [m]	59,00							
8	EIRP [W]	3039	14198			14198			19734

Charakterystyka promieniowania		kierunkowa							
Rzeczywisty czas pracy [h/dobę]		24							
Rodzaj wytwarzanego pola		stacjonarne							
Lp	Wyszczególnienie	sektor 3							
I	Nadajnik stacji bazowej:								
1	Typ / Producent	RBS / SRAN Ericsson							
2	Częstotliwość (pasmo) MHz	900	2100	1800	800	2100	1800	800	2600
3	Maksymalna moc nadawana na sektor [dBm]	47,78	50	50	49,03	50	50	49,03	52,04
II	Obciążenie:								
1	Typ anteny	Huawei A704517R0	Huawei ADU4518R8			Huawei ADU4518R8		Huawei ADU4521R0	
2	Producent anteny	Huawei	Huawei			Huawei		Huawei	
3	Nazwa anteny	33_GT	31_HNV	31_HNV	31_HNV	32_LV	32_LV	32_LV	34_H
4	Ilość anten	1	1			1		1	
5	Azymut	270							
6	Zakres kątów pochylenia anten [°]	0-10	2-12	2-12	0-10	2-12	2-12	0-10	0-6
7	Wysokość zainst. n.p.t. [m]	59,00							
8	EIRP [W]	3039	14198			14198		19734	

Tabela 2. Anteny radioliniowe- dane otrzymane od klienta

Charakterystyka promieniowania				kierunkowa			
Rzeczywisty czas pracy [h/dobę]				24			
Rodzaj wytwarzanego pola				stacjonarne			
Lp	Linia radiowa			Antena			
	typ/producent	częstotliwość pracy [GHz]	moc wyjściowa [dBm]	typ/producent	średnica anteny [m]	azymut [°]	wysokość zainstal. [m]
1	OPTIX RTN/HUAWEI	80	18	A80S06/Huawei	0,6	186	56,50
2	OPTIX RTN/HUAWEI	23	21	A23D06/Huawei	0,6	354	56,50

## 6. Wyniki pomiarów.

Wyniki pomiarów pól elektromagnetycznych dla celów ochrony środowiska przedstawia poniższa tabela. Piony pomiarowe zostały przedstawione w zał. 2.

Nr PP	Pole-E [V/m]	Pole-E, +U [V/m]	Pole-H [A/m]	Pole-H +U [A/m]	Wys. pomiaru [m]	Opis pionu	Uwagi	WM <sub>E</sub>	WM <sub>H</sub>
1	0,8	1,24	0,002	0,003	0,3-2,0	N:50°48'38.0" E:21°26'26.6"	otoczenie stacji bazowej - 100m wzdłuż gł. osi promieniowania - GKP	0,044	0,045
2	0,7*	1,24	0,002	0,003	0,3-2,0	N:50°48'41.1" E:21°26'27.5"	otoczenie stacji bazowej - 200m wzdłuż gł. osi promieniowania - GKP	0,044	0,045
3	0,7*	1,24	0,002	0,003	0,3-2,0	N:50°48'44.4" E:21°26'28.7"	otoczenie stacji bazowej - 300m wzdłuż gł. osi promieniowania - GKP	0,044	0,045
4	0,7*	1,24	0,002	0,003	0,3-2,0	N:50°48'47.7" E:21°26'29.9"	otoczenie stacji bazowej - 400m wzdłuż gł. osi promieniowania - GKP	0,044	0,045
5	0,7*	1,24	0,002	0,003	0,3-2,0	N:50°48'50.8" E:21°26'30.6"	otoczenie stacji bazowej - 500m wzdłuż gł. osi promieniowania - GKP	0,044	0,045
6	0,7*	1,24	0,002	0,003	0,3-2,0	N:50°48'53.9" E:21°26'31.7"	otoczenie stacji bazowej - 600m wzdłuż gł. osi promieniowania - GKP	0,044	0,045
7	0,7*	1,24	0,002	0,003	0,3-2,0	N:50°48'54.9" E:21°26'31.9"	otoczenie stacji bazowej - 630m wzdłuż gł. osi promieniowania - GKP	0,044	0,045
8	0,7*	1,24	0,002	0,003	0,3-2,0	N:50°48'33.7" E:21°26'30.3"	otoczenie stacji bazowej - 100m wzdłuż gł. osi promieniowania - GKP	0,044	0,045

„Bez pisemnej zgody Laboratorium niniejsze sprawozdanie nie może być powielane inaczej, jak tylko w całości. Ponadto wyniki dotyczą tylko badanych obiektów przywołanych w niniejszym sprawozdaniu z badań”

9	0,7*	1,24	0,002	0,003	0,3-2,0	N:50°48'32.5" E:21°26'35.2"	otoczenie stacji bazowej - 200m wzdłuż gł. osi promieniowania - GKP	0,044	0,045
10	0,7*	1,24	0,002	0,003	0,3-2,0	N:50°48'31.2" E:21°26'40.0"	otoczenie stacji bazowej - 300m wzdłuż gł. osi promieniowania - GKP	0,044	0,045
11	0,7*	1,24	0,002	0,003	0,3-2,0	N:50°48'30.0" E:21°26'44.9"	otoczenie stacji bazowej - 400m wzdłuż gł. osi promieniowania - GKP	0,044	0,045
12	0,7*	1,24	0,002	0,003	0,3-2,0	N:50°48'28.8" E:21°26'49.5"	otoczenie stacji bazowej - 500m wzdłuż gł. osi promieniowania - GKP	0,044	0,045
13	0,7*	1,24	0,002	0,003	0,3-2,0	N:50°48'27.7" E:21°26'54.1"	otoczenie stacji bazowej - 600m wzdłuż gł. osi promieniowania - GKP	0,044	0,045
14	0,7*	1,24	0,002	0,003	0,3-2,0	N:50°48'25.6" E:21°27'02.5"	otoczenie stacji bazowej - 780m wzdłuż gł. osi promieniowania - GKP	0,044	0,045
15	0,7*	1,24	0,002	0,003	0,3-2,0	N:50°48'34.9" E:21°26'20.5"	otoczenie stacji bazowej - 100m wzdłuż gł. osi promieniowania - GKP	0,044	0,045
16	0,7*	1,24	0,002	0,003	0,3-2,0	N:50°48'35.1" E:21°26'15.4"	otoczenie stacji bazowej - 200m wzdłuż gł. osi promieniowania - GKP	0,044	0,045
17	0,7*	1,24	0,002	0,003	0,3-2,0	N:50°48'35.1" E:21°26'10.2"	otoczenie stacji bazowej - 300m wzdłuż gł. osi promieniowania - GKP	0,044	0,045
18	0,7*	1,24	0,002	0,003	0,3-2,0	N:50°48'35.2" E:21°26'05.4"	otoczenie stacji bazowej - 400m wzdłuż gł. osi promieniowania - GKP	0,044	0,045
19	0,7*	1,24	0,002	0,003	0,3-2,0	N:50°48'35.4" E:21°26'00.2"	otoczenie stacji bazowej - 500m wzdłuż gł. osi promieniowania - GKP	0,044	0,045
20	0,7*	1,24	0,002	0,003	0,3-2,0	N:50°48'35.3" E:21°25'55.2"	otoczenie stacji bazowej - 600m wzdłuż gł. osi promieniowania - GKP	0,044	0,045
21	0,7*	1,24	0,002	0,003	0,3-2,0	N:50°48'35.4" E:21°25'49.9"	otoczenie stacji bazowej - 700m wzdłuż gł. osi promieniowania - GKP	0,044	0,045
22	0,7*	1,24	0,002	0,003	0,3-2,0	N:50°48'35.6" E:21°25'44.7"	otoczenie stacji bazowej - 800m wzdłuż gł. osi promieniowania - GKP	0,044	0,045
23	0,7*	1,24	0,002	0,003	0,3-2,0	N:50°48'35.9" E:21°25'39.9"	otoczenie stacji bazowej - 900m wzdłuż gł. osi promieniowania - GKP	0,044	0,045
24	0,7*	1,24	0,002	0,003	0,3-2,0	N:50°48'31.8" E:21°26'24.6"	otoczenie stacji bazowej - 100m wzdłuż gł. osi promieniowania - GKP	0,044	0,045
25	0,7*	1,24	0,002	0,003	0,3-2,0	N:50°48'38.1" E:21°26'25.6"	otoczenie stacji bazowej - 100m wzdłuż gł. osi promieniowania - GKP	0,044	0,045
26	0,7*	1,24	0,002	0,003	0,3-2,0	N:50°48'37.4" E:21°26'28.4"	otoczenie stacji bazowej - PKP	0,044	0,045
27	0,7*	1,24	0,002	0,003	0,3-2,0	N:50°48'35.8" E:21°26'28.2"	otoczenie stacji bazowej - GKP	0,044	0,045
28	0,7*	1,24	0,002	0,003	0,3-2,0	N:50°48'35.7" E:21°26'30.8"	otoczenie stacji bazowej - GKP	0,044	0,045
29	0,7*	1,24	0,002	0,003	0,3-2,0	N:50°48'33.2" E:21°26'27.1"	otoczenie stacji bazowej - PKP	0,044	0,045
30	0,7*	1,24	0,002	0,003	0,3-2,0	N:50°48'33.9" E:21°26'23.2"	otoczenie stacji bazowej - PKP	0,044	0,045
31	0,7*	1,24	0,002	0,003	0,3-2,0	N:50°48'35.8" E:21°26'23.8"	otoczenie stacji bazowej - PKP	0,044	0,045
32	0,7*	1,24	0,002	0,003	0,3-2,0	N:50°48'36.7" E:21°26'23.0"	otoczenie stacji bazowej - PKP	0,044	0,045
A	0,7*	1,24	0,002	0,003	0,3-2,0	N:50°48'35.1" E:21°26'29.1"	Graniczna 11, pomiar w otworze okienny, parter - DPP	0,044	0,045
B	0,7*	1,24	0,002	0,003	0,3-2,0	N:50°48'35.6" E:21°25'42.9"	Żeromskiego 42, pomiar w otworze okienny, parter - DPP	0,044	0,045
C	0,7*	1,24	0,002	0,003	0,3-2,0	N:50°48'36.1" E:21°25'40.6"	Żeromskiego 44, pomiar w otworze okienny, parter - DPP	0,044	0,045
D	0,7*	1,24	0,002	0,003	0,3-2,0	N:50°48'28.7" E:21°26'50.7"	1 Maja 73, pomiar w otworze okienny, parter - DPP	0,044	0,045
E	0,7*	1,24	0,002	0,003	0,3-2,0	N:50°48'27.1" E:21°26'57.6"	1 Maja 122, pomiar w otworze okienny, parter - DPP	0,044	0,045

Wynik pomiaru pole - E [V/m] - maksymalna wartość chwilowa zmierzona w danym pionie pomiarowym (uśredniona na podstawie punktu 11 załącznika do Rozporządzenia Ministra Klimatu z dnia 17 lutego 2020 r. w sprawie sposobów sprawdzania dotrzymania dopuszczalnych poziomów pól elektromagnetycznych w środowisku (Dz.U. 2022 poz. 2630)). Zgodnie z pkt. 7 załącznika do Rozporządzenia Ministra Klimatu z dnia 17 lutego 2020 r. w sprawie sposobów sprawdzania dotrzymania dopuszczalnych poziomów pól elektromagnetycznych w środowisku (Dz.U. 2022 poz. 2630) nie stosuje się poprawek pomiarowych.



Przyjęto najniższą dopuszczalną wartość składowej elektrycznej pola dla objętego pomiarami zakresu częstotliwości  $\min(ME_{gr}) = 28 \text{ V/m}$  oraz składowej magnetycznej  $\min(MH_{gr}) = 0,073 \text{ A/m}$ .

\* - wartość zmierzona poniżej zakresu akredytacji. Do obliczeń przyjęto wartość zgodną z dolną granicą akredytowanego zakresu pomiarowego metody.

GKP - główne kierunki pomiarowe

PKP - pomocnicze kierunki pomiarowe

DPP - dodatkowe punkty pomiarowe

PP - pion pomiarowy

U - niepewność pomiarowa rozszerzona, przy poziomie ufności 95%, z uwzględnieniem współczynnika rozszerzenia  $k=2$

WM<sub>E</sub> - wartość wskaźnikowa poziomu emisji pól elektromagnetycznych dla miejsc dostępnych dla ludności dla składowej elektrycznej pola

WM<sub>H</sub> - wartość wskaźnikowa poziomu emisji pól elektromagnetycznych dla miejsc dostępnych dla ludności dla składowej magnetycznej pola

## 7. Stwierdzenie zgodności

Na podstawie wytycznych podanych w Rozporządzeniu Ministra Zdrowia z dnia 17 grudnia 2019 r. w sprawie dopuszczalnych poziomów pól elektromagnetycznych w środowisku (Dz.U. 2019 poz. 2448) oraz sposobów sprawdzania dotrzymania tych poziomów zgodnie z Rozporządzeniem Ministra Klimatu z dnia 17 lutego 2020 r. w sprawie sposobów sprawdzania dotrzymania dopuszczalnych poziomów pól elektromagnetycznych w środowisku (Dz.U. 2022 poz. 2630), dotyczących źródła wymagań, które muszą być spełnione, w oparciu o zasadę podejmowania decyzji zgodną z pkt. 26 Rozporządzenia Ministra Klimatu z dnia 17 lutego 2020 r. (Dz.U. 2022 poz. 2630), na podstawie wyników pomiarów pól elektromagnetycznych wykonanych w dniu 11.09.2023 stwierdzono, że wszystkie wyniki przeprowadzonych pomiarów w danym obszarze pomiarowym oraz wyznaczone na tej podstawie wskaźniki WME oraz WMH są mniejsze od wartości dopuszczalnych – zgodnie z przepisami wydanymi na podstawie art. 122 ust. 1 ustawy z dnia 27 kwietnia 2001 r. – Prawo ochrony środowiska – załącznikiem do Rozporządzenia Ministra Klimatu i Środowiska z dnia 17 lutego 2020 r. w sprawie sposobów sprawdzania dotrzymywania dopuszczalnych poziomów pól elektromagnetycznych w środowisku (Dz.U. 2022 poz. 2630, pkt 26).

## 8. Oświadczenie.

Wyniki badania odnoszą się wyłącznie do badanego obiektu.

Bez pisemnej zgody sprawozdanie nie może być powielane inaczej, jak tylko w całości.

Uwagi i zastrzeżenia przyjmowane są w formie pisemnej.

## 9. Spis załączników.

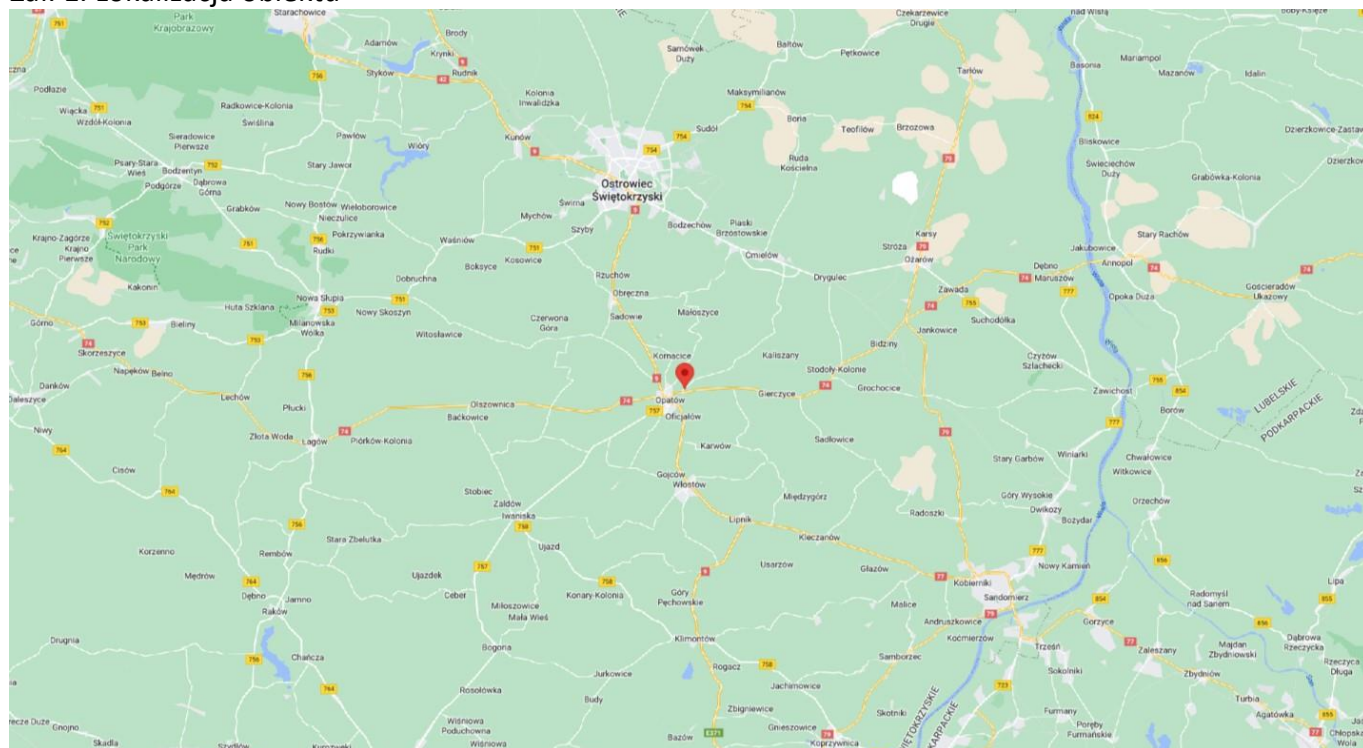
Załącznik 1. Lokalizacja obiektu.

Załącznik 2. Widok pionów pomiarowych

Załącznik 3. Załączniki graficzne

**Koniec sprawozdania**

## Załącznik 1. Lokalizacja obiektu

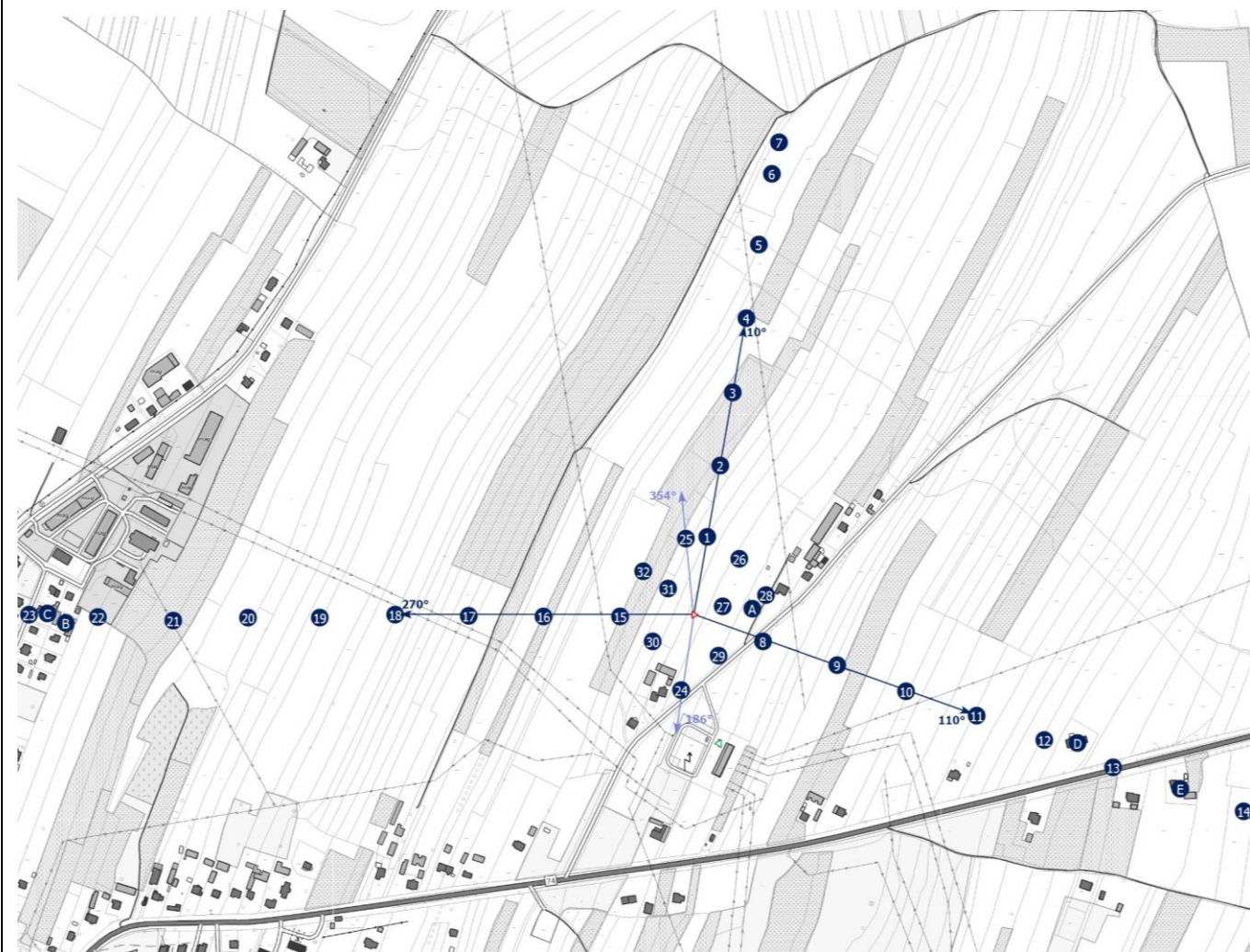


### Współrzędne geograficzne

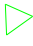
długość: 21°26'25.55"E


szerokość: 50°48'34.91"N


## Załącznik 2. Widok pionów pomiarowych




### LEGENDA:

 inna instalacja telekomunikacyjna

 instalacja telekomunikacyjna dla której wykonywano pomiar

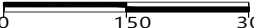
 brak dostępu

 pion pomiaru

 antena sektorowa

 antena radioliowa

Skala: 1:10 700

 0 150 300m

„Bez pisemnej zgody Laboratorium niniejsze sprawozdanie nie może być powielane inaczej, jak tylko w całości. Ponadto wyniki dotyczą tylko badanych obiektów przywołanych w niniejszym sprawozdaniu z badań”

26/09/OŚ/2023– P4-W

Strona 11 z 12

### Załącz. 3. Załączniki graficzne.

